

Лаборатория Неорганической Кристаллохимии Кафедра Неорганической Химии, Химический Факультет МГУ

Guns don't kill people. People do. Приписывается полковнику Кольту

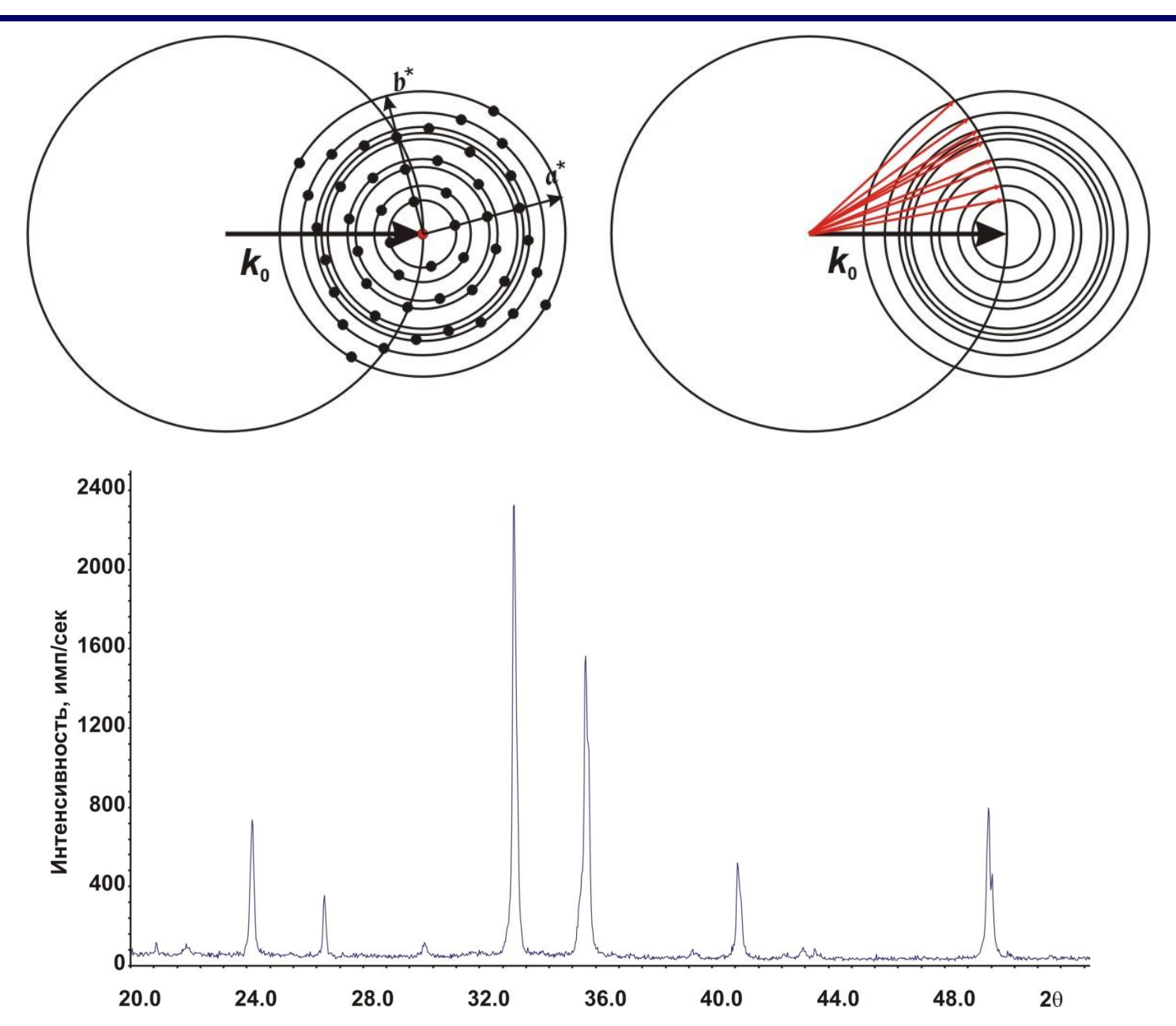
Дифракционный эксперимент: оборудование, пробоподготовка, условия съемки

Содержание

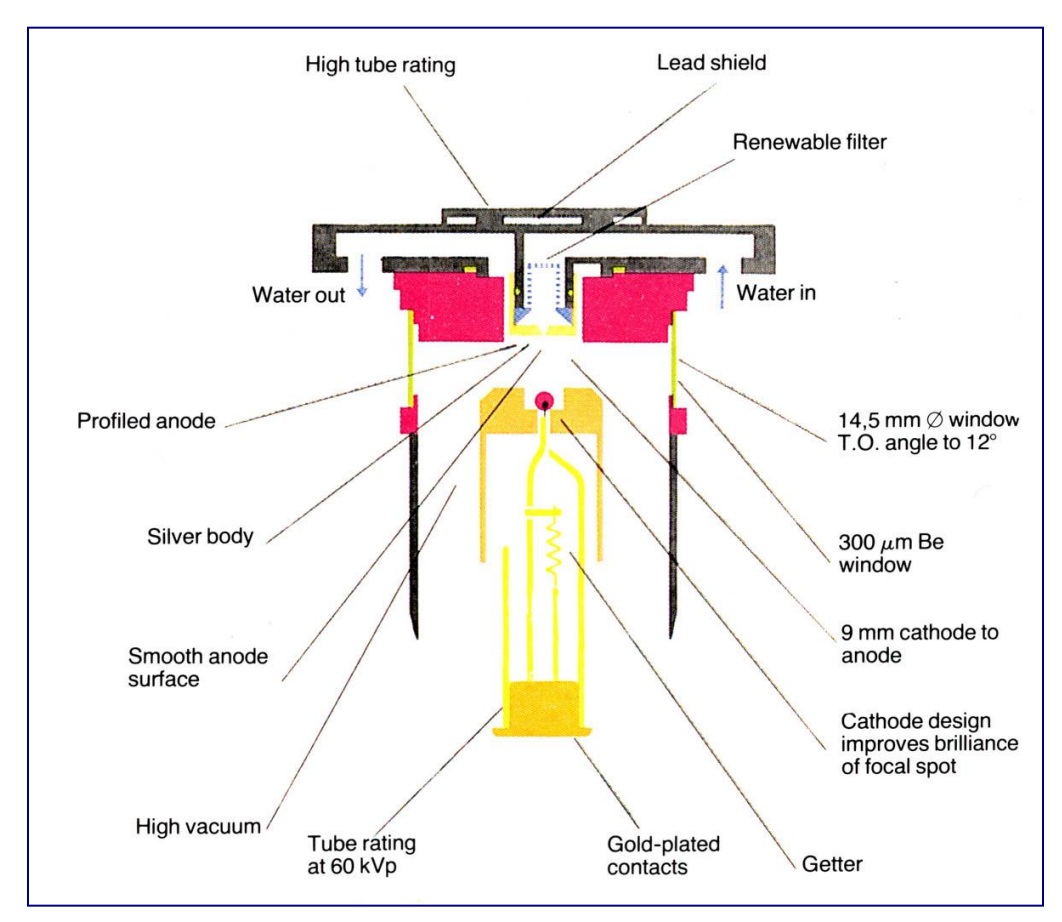
1. Оборудование для регистрации дифрактограмм

- 1.1 Источники излучения
- 1.2 Детекторы
- 1.3 Рентгеновская оптика
- 1.4 Геометрии съемки
- 2. Пробоподготовка
- 3. Условия съемки
- 4. Систематические погрешности в эксперименте

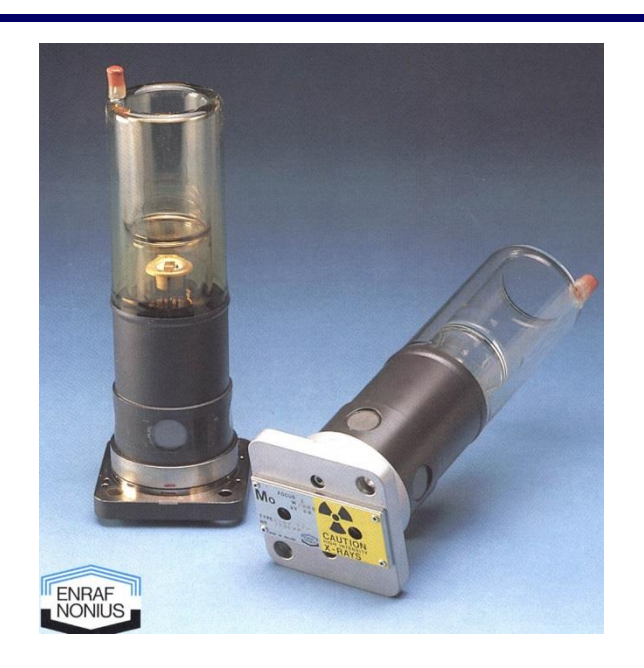
Задача регистрации дифрактограмм



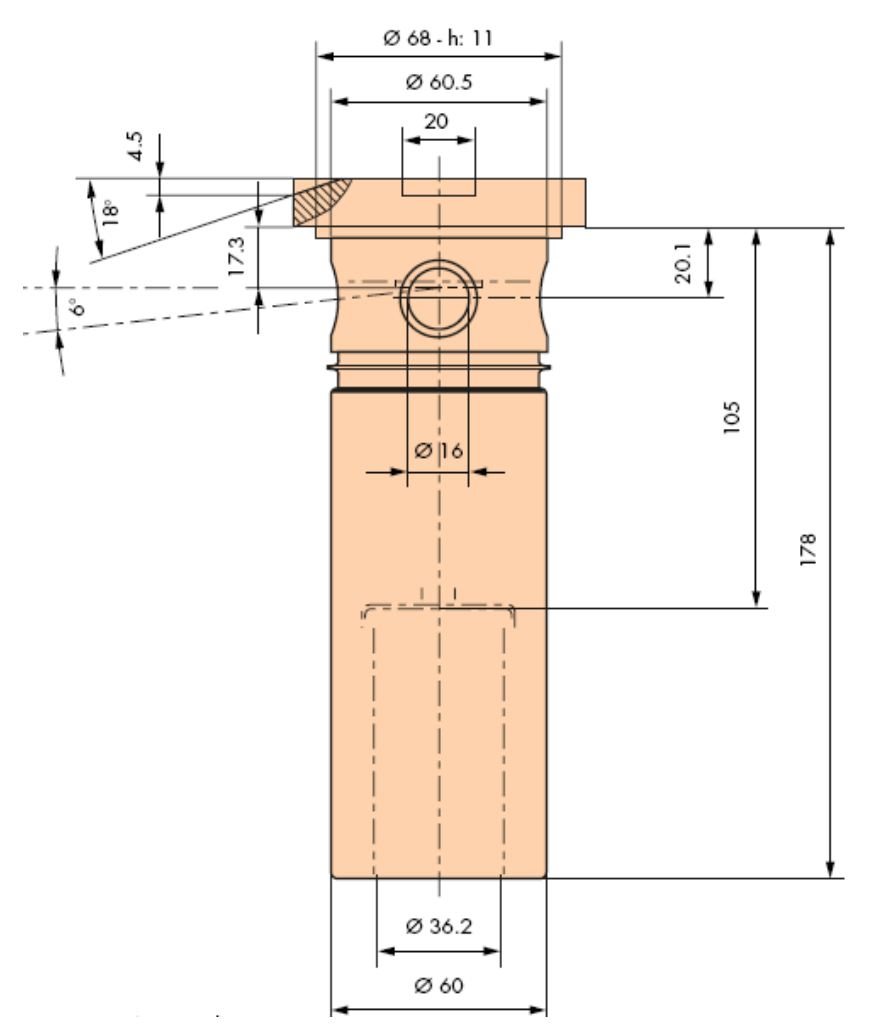
Отпаянная рентгеновская трубка (до 3 kW)



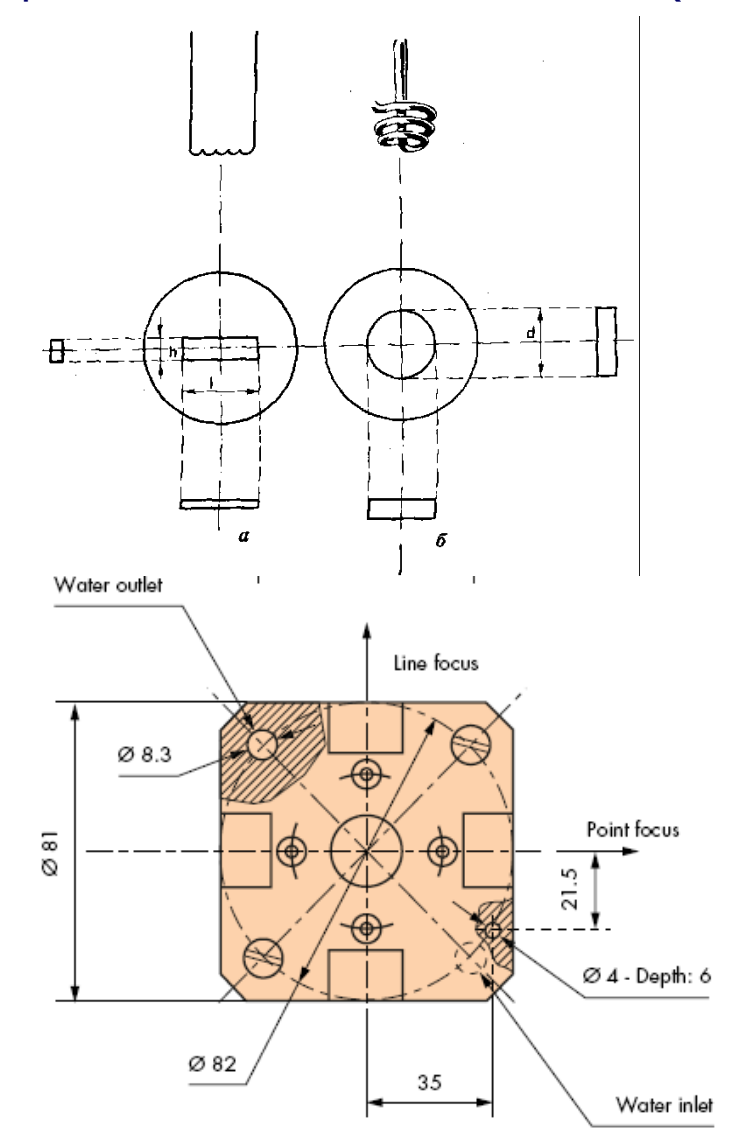
90% современных порошковых дифрактометров оборудовано такими трубками





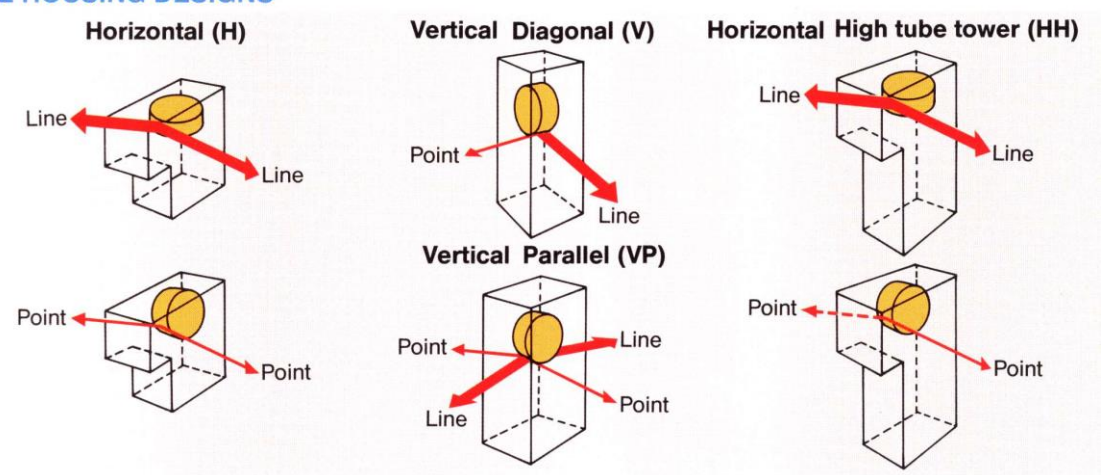


Размер фокального пятна 0.4×12 мм (LFF)



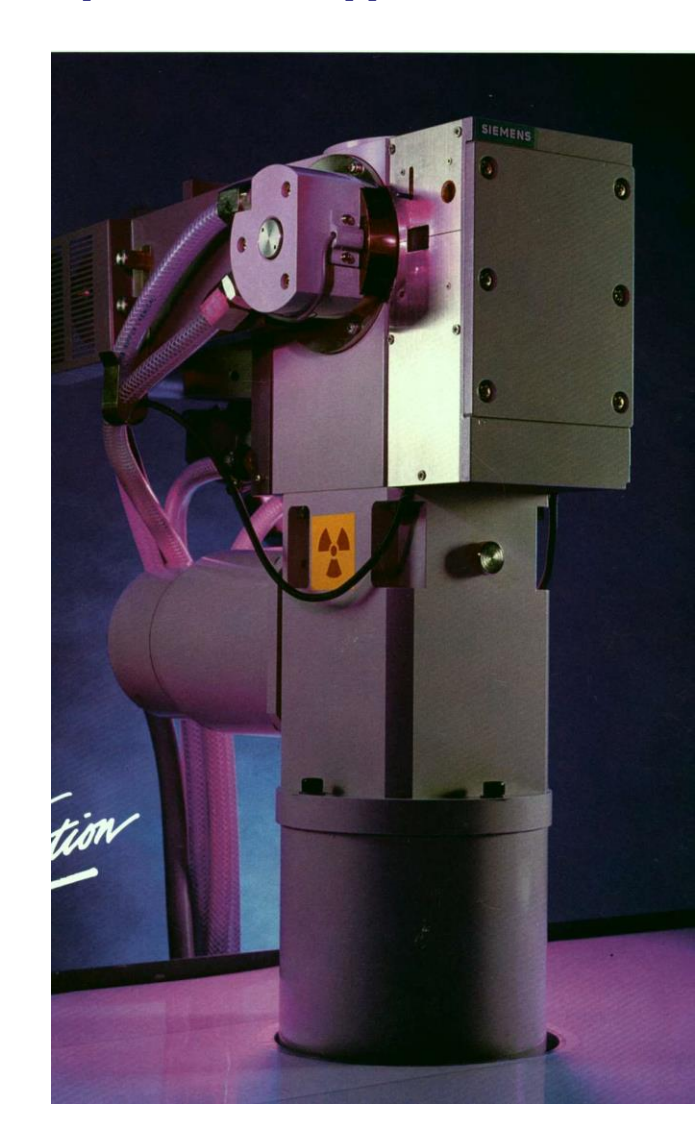
Рентгеновские трубки с вращающимся анодом

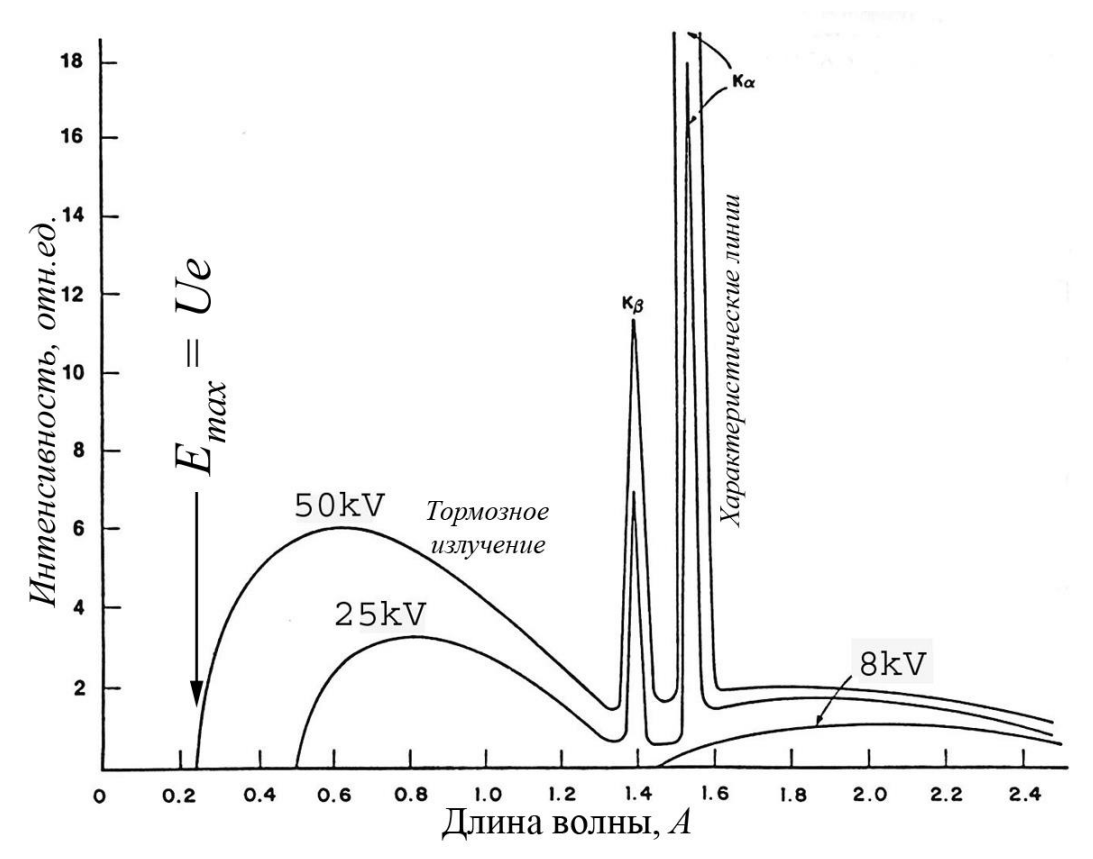
TUBE HOUSING DESIGNS



Мощность до 30-35 kW (в серийных устройствах – 18 kW)

Основная проблема - поддержание вакуума.
При недостаточном вакууме выгорают анод и нить катода!





Характеристическое излучение:

$$I \sim i \times (U - U_o)^n, 1.6 < n < 2$$
 $U_0(Cu) \sim 9$

Тормозное излучение (белый спектр):

$$I \sim i imes U^2 Z, Z$$
 — атомный номер материала анода

Обычный режим работы трубки с Cu-анодом:

U = 40-45 kB

I = 30-45 MA

Высоковольтный генератор



Современные генераторы – импульсные источники питания + высоковольтный трансформатор + диодный умножитель

1.2 Детекторы (точечные)

Пропорциональный



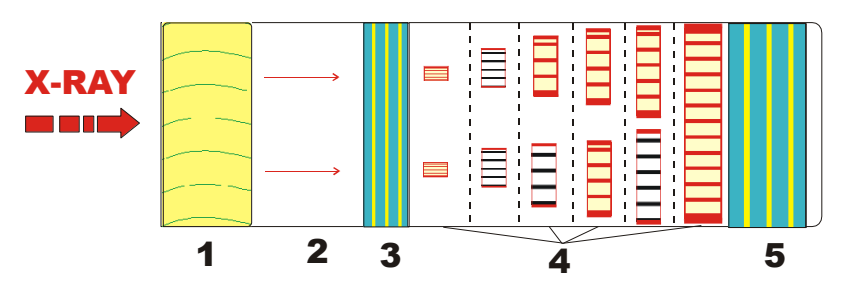
 $\lambda = 0.7 - 3.5 \text{ Å}$

временное разрешение 10⁻⁷ с мёртвое время 10⁻⁵ с Наполнение Ar(Xe) + 10%CH₄ Эффективность для CuKα≈60% Динамический диапазон 0 - 1.5-2 Мимп/с

Недостатки:

- амплитуда импульса зависит от состава газовой смеси
- невысокое временное разрешение

Сцинтилляционный



- 1. Кристалл-сцинтиллятор
 - 2. Световод
 - 3. Фотокатод ФЭУ
 - 4. Диноды
 - 5. Анод ФЭУ

$$\lambda = 0.5 - 2.5 \text{ Å}$$

временное разрешение 10-9 с

мёртвое время

10⁻⁸ c

Эффективность для СиКα≈95%

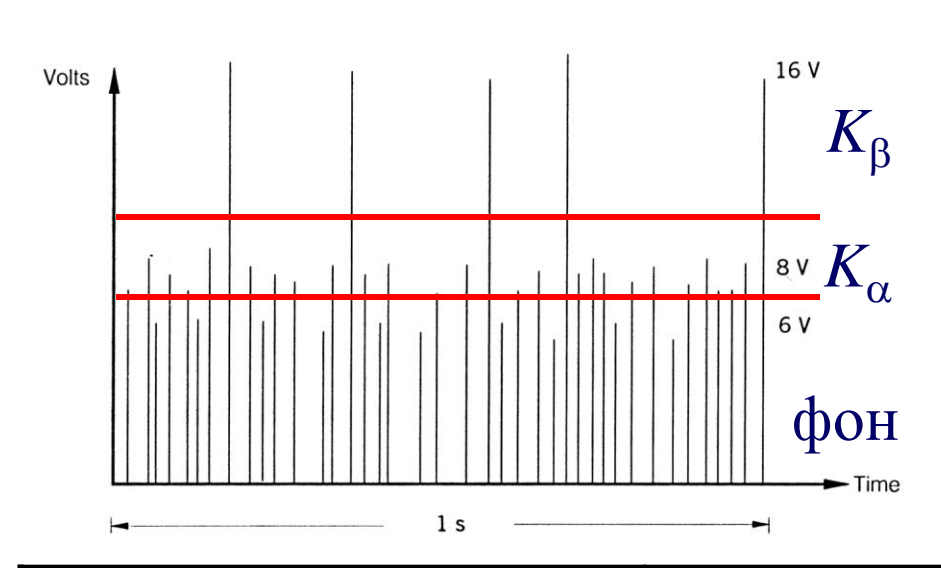
Динамический диапазон 0 - 2-2.5 Мимп/с

Кристаллы:

NaI(TI) ZnS(Ag) CsI(TI)

1.2 Детекторы (точечные)

Твердотельные полупроводниковые детекторы Si(Li)





| Детектор | Разрешение (eV) | Разрешение (%) для $CuKlpha$ |
|------------------|-----------------|------------------------------|
| Сцинтилляционный | 3638 | 45.3 |
| Пропорциональный | 1086 | 13.5 |
| Si(Li) | 160 | 2.0 |

Достоинства:

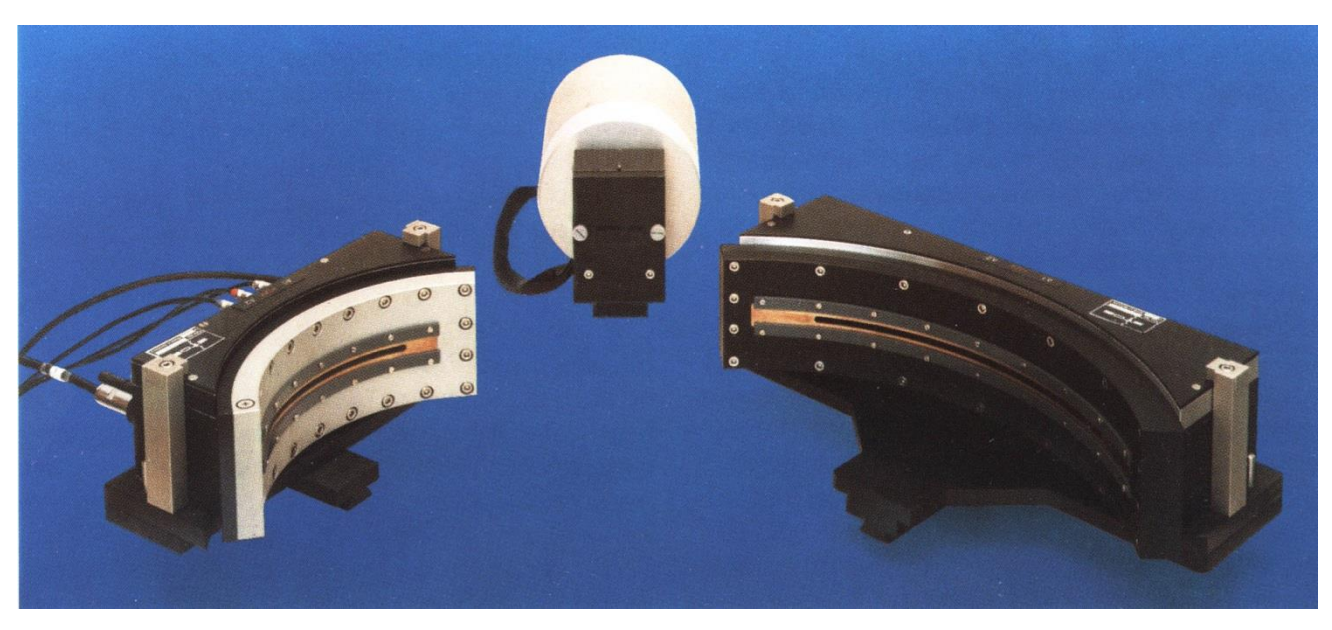
Высокое энергетическое разрешение

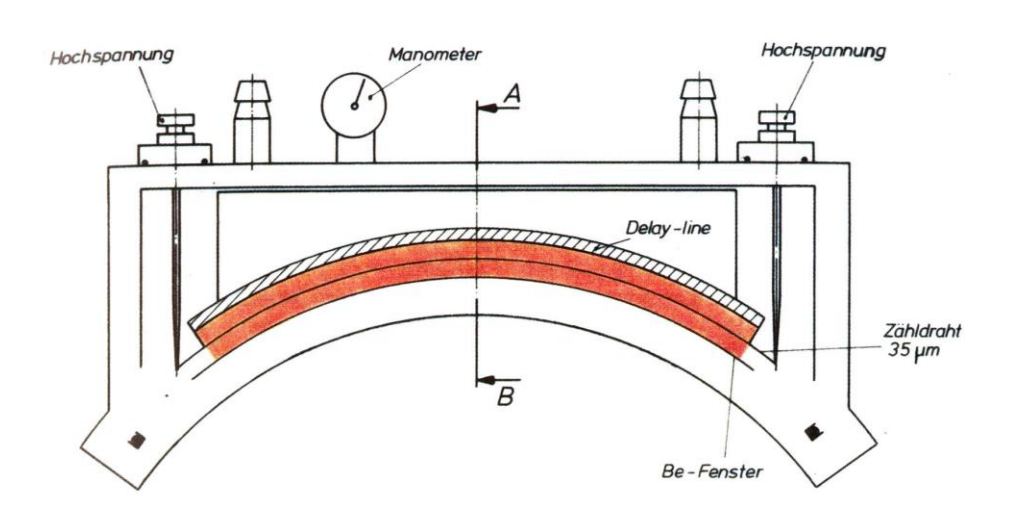
Недостатки:

Малый динамический диапазон (обычно до 10⁵ имп/сек)

PSD (Positional Sensitive Detector)

Газонаполненные PSD

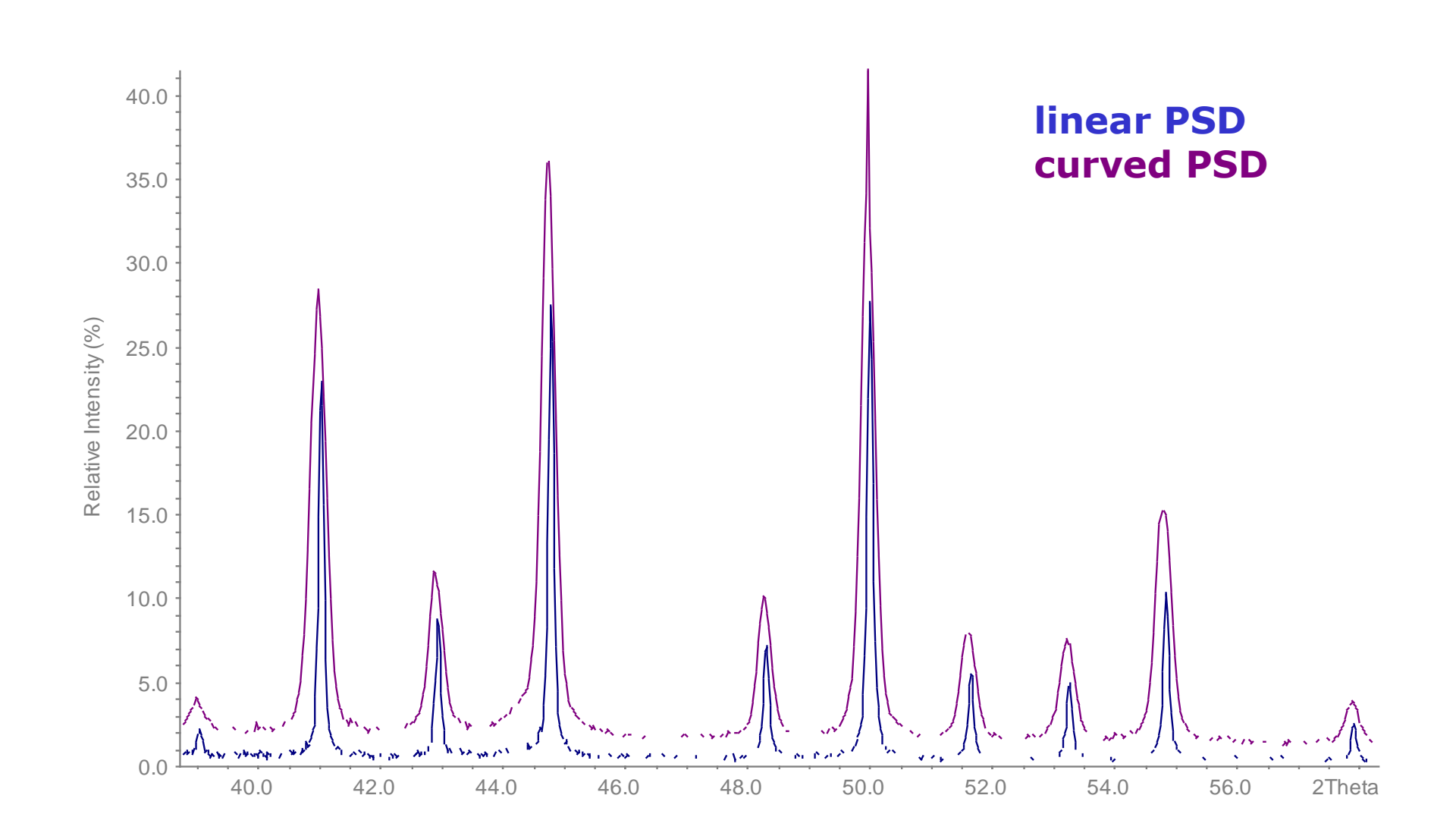




линейный PSD 4-7 °20 изогнутый PSD 40-120 °20



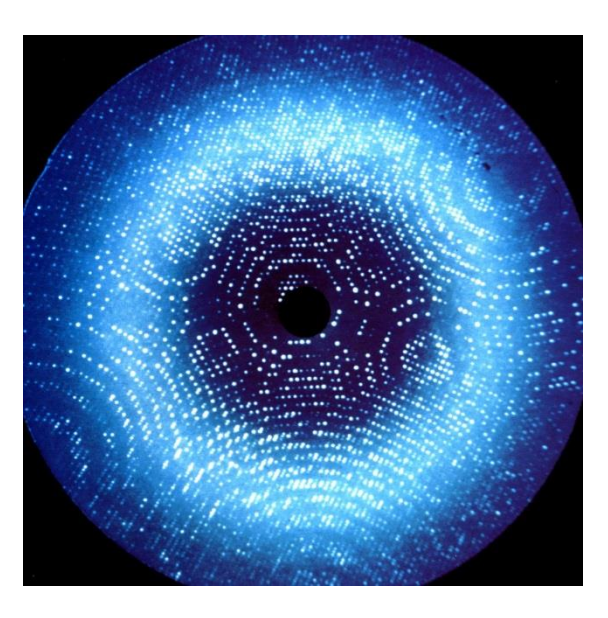
Разрешение PSD-детекторов двух типов:



IPD Systems
Imaging
Plate
Detector

Детекторы типа Image Plate («многоразовая фотопленка»)

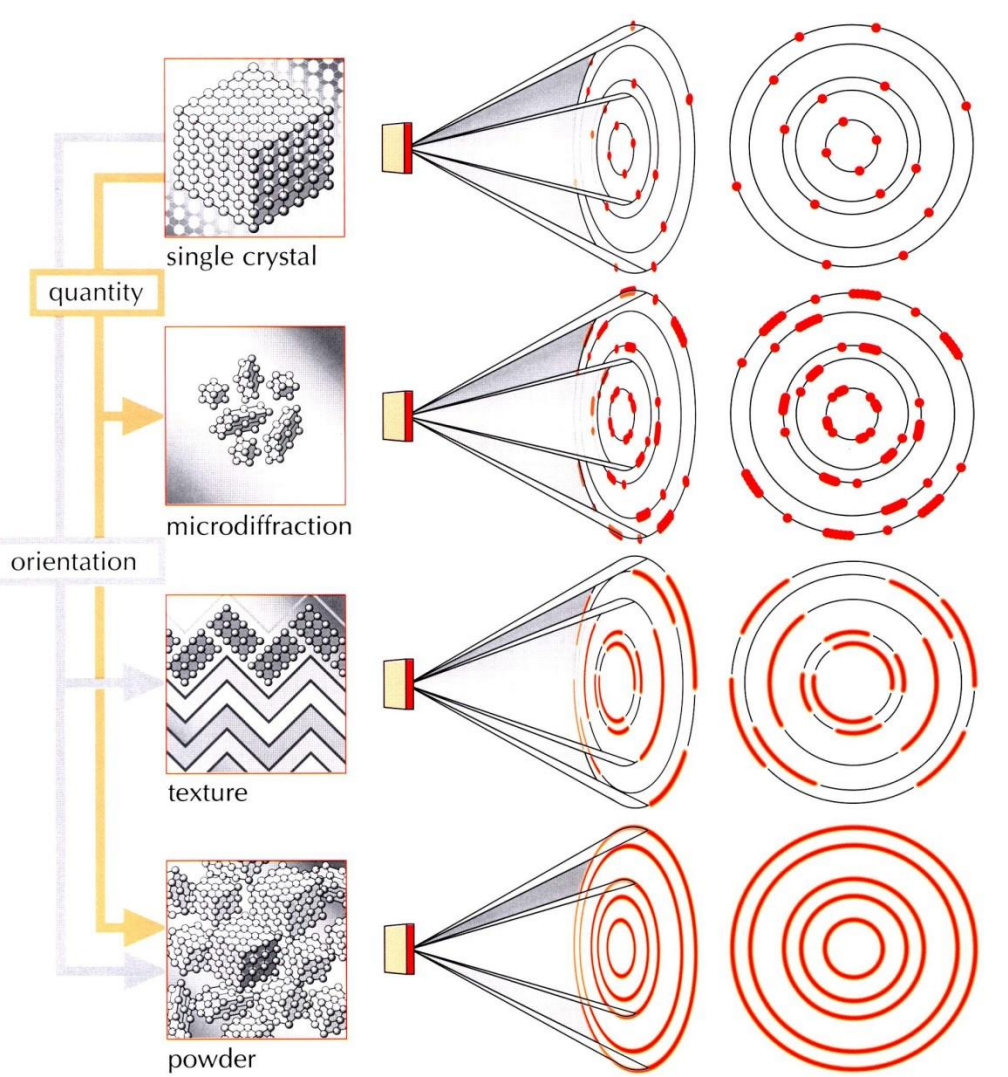
- + высокий динамический диапазон ($>10^6$)
- низкая скорость сканирования
- 1. Засветка PETF|BaFBr:Eu²⁺ рентгеновским излучением
- 2. Проявление: синяя люминесценция при облучении красным лазером
- 3. Стирание: 10 секунд под светом галогеновой лампы.

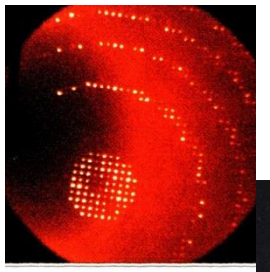


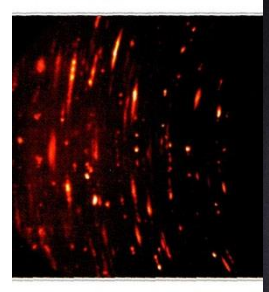




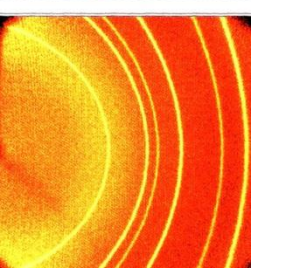
Детекторы ПЗС



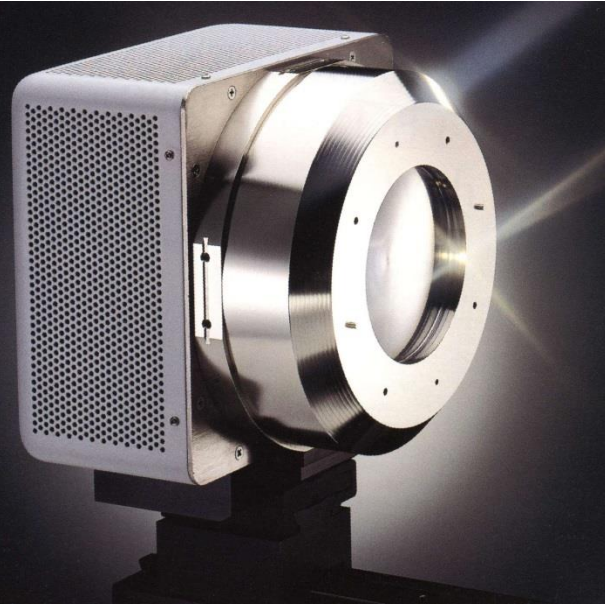








CCD Charge Coupling Device

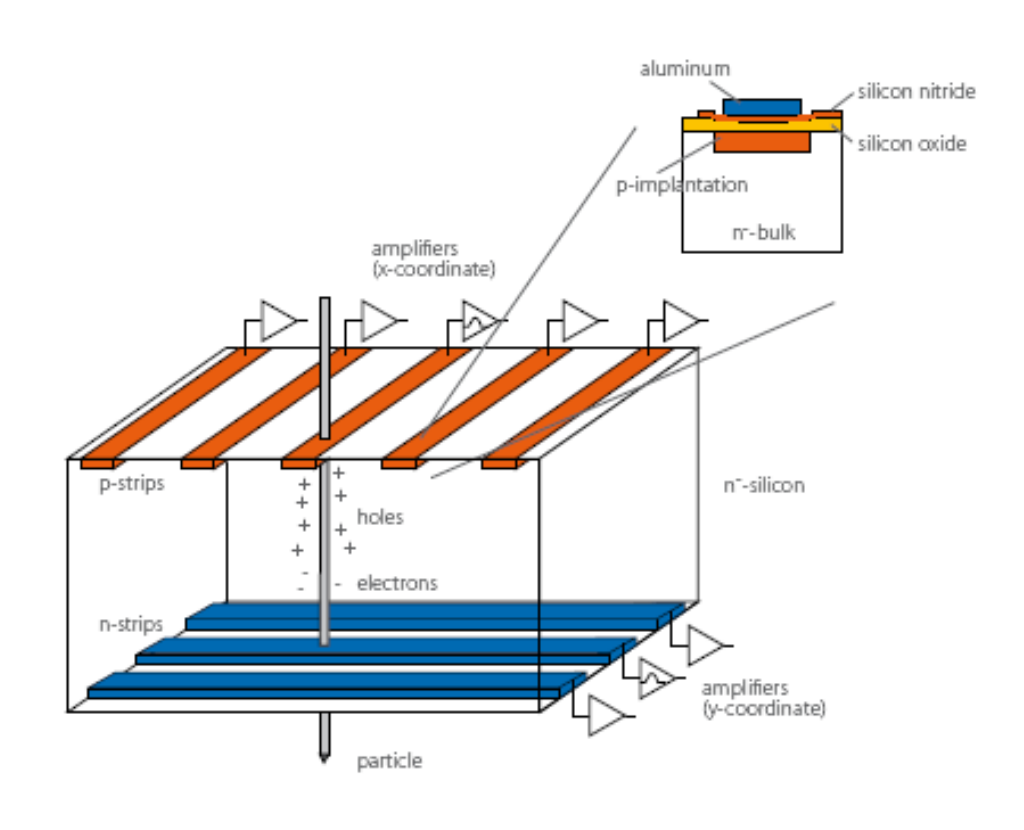


Редкий выбор для порошковой дифракции!

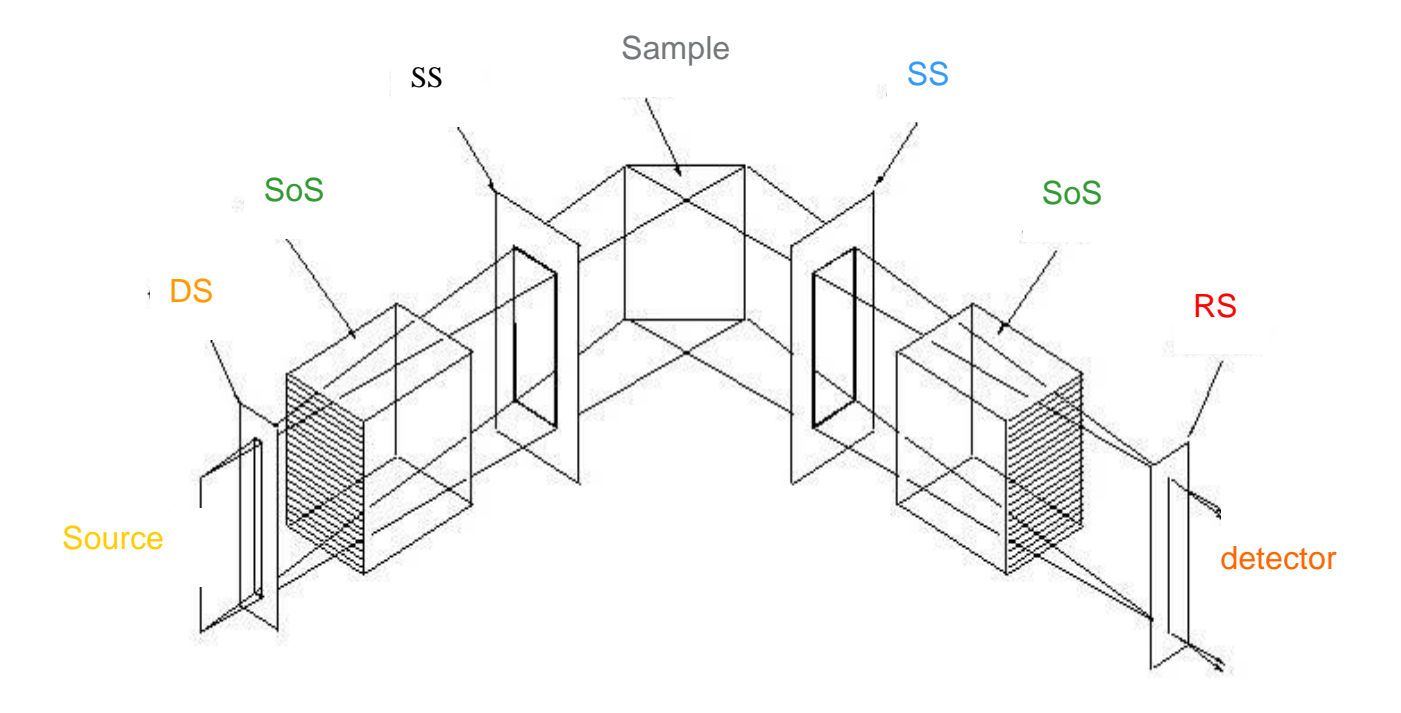
Детекторы типа Multi-Strip (многоканальные полупроводниковые)



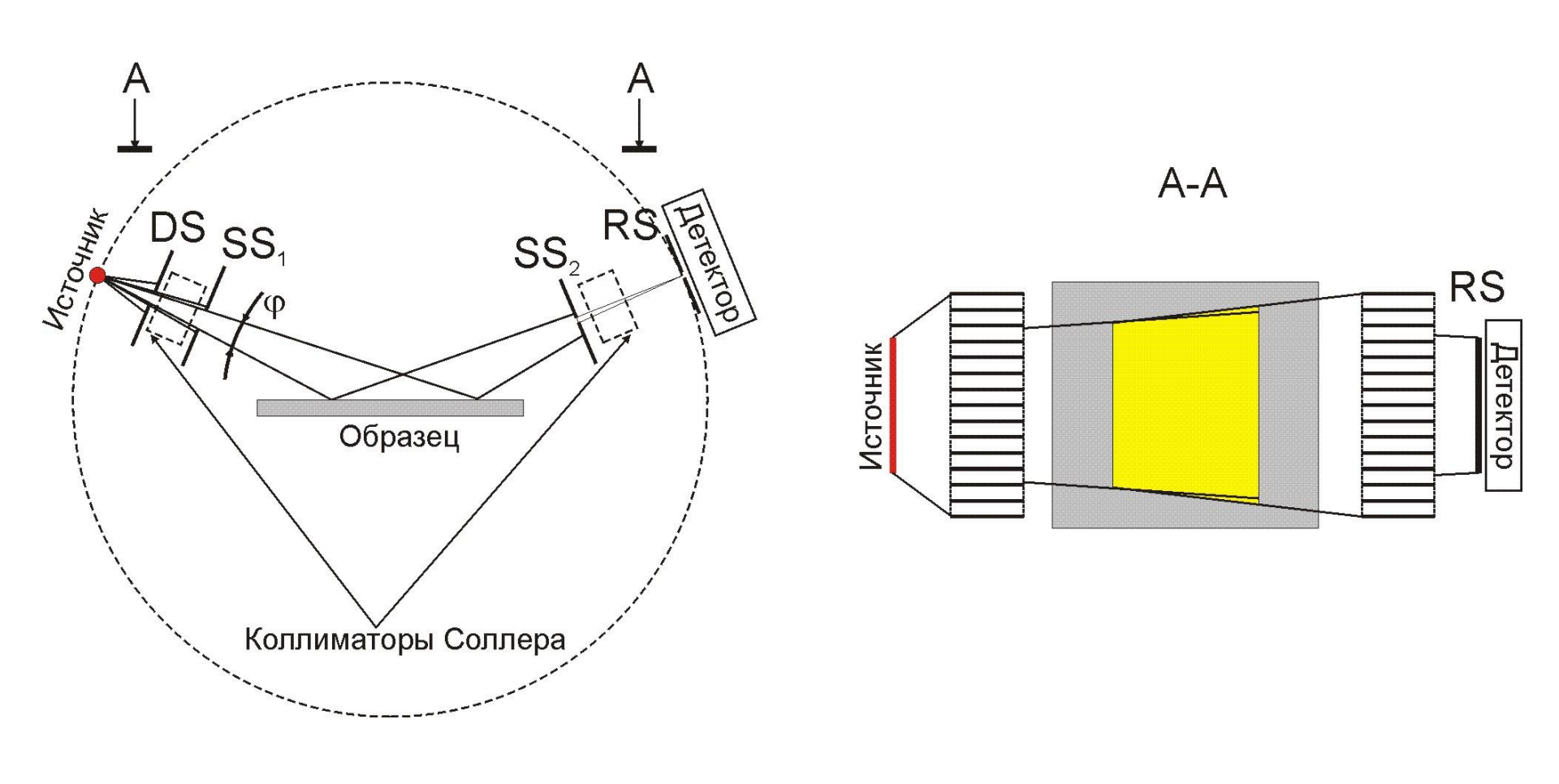


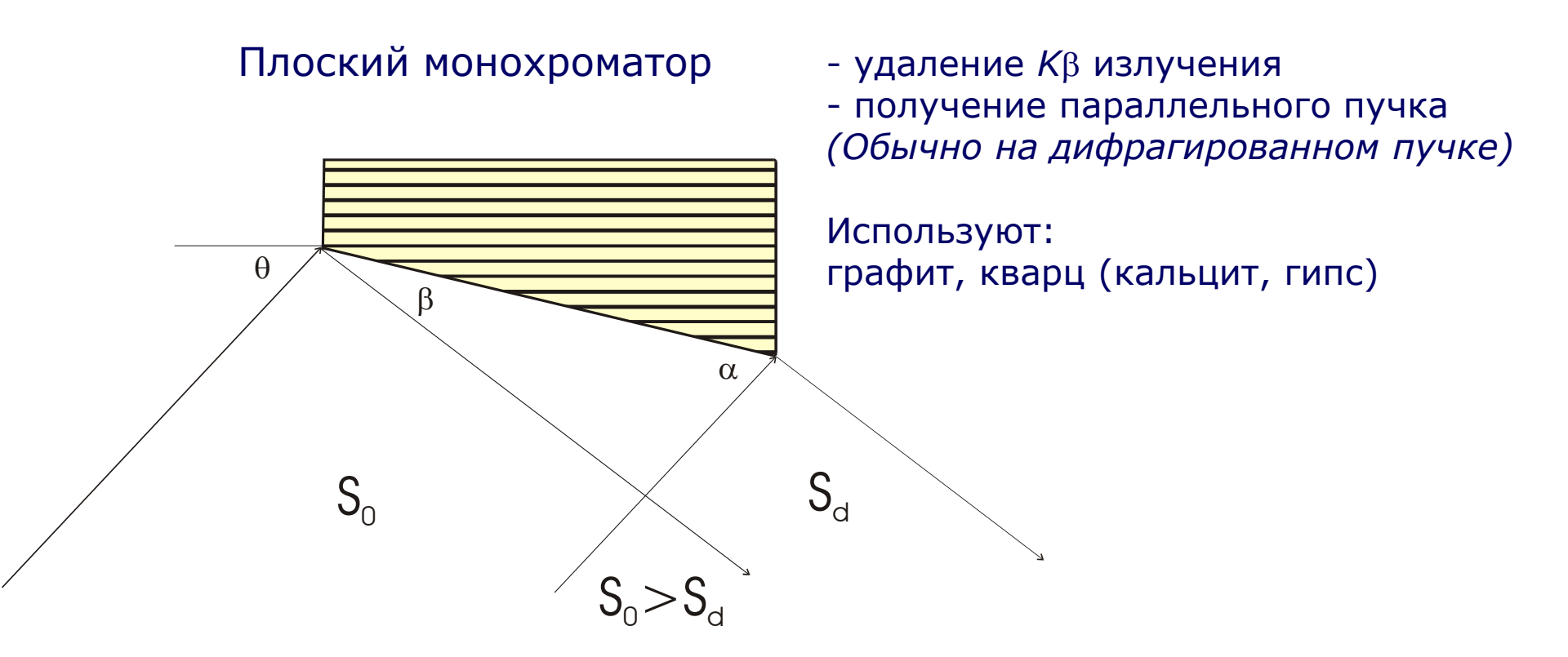


- 1. Ограничение расходимости пучка в двух плоскостях (коллимация)
- 2. Монохроматизация излучения
- 3. Преобразование расходимости пучка (расходящийся/сходящийся/параллельный)
- 4. Уменьшение потерь излучения



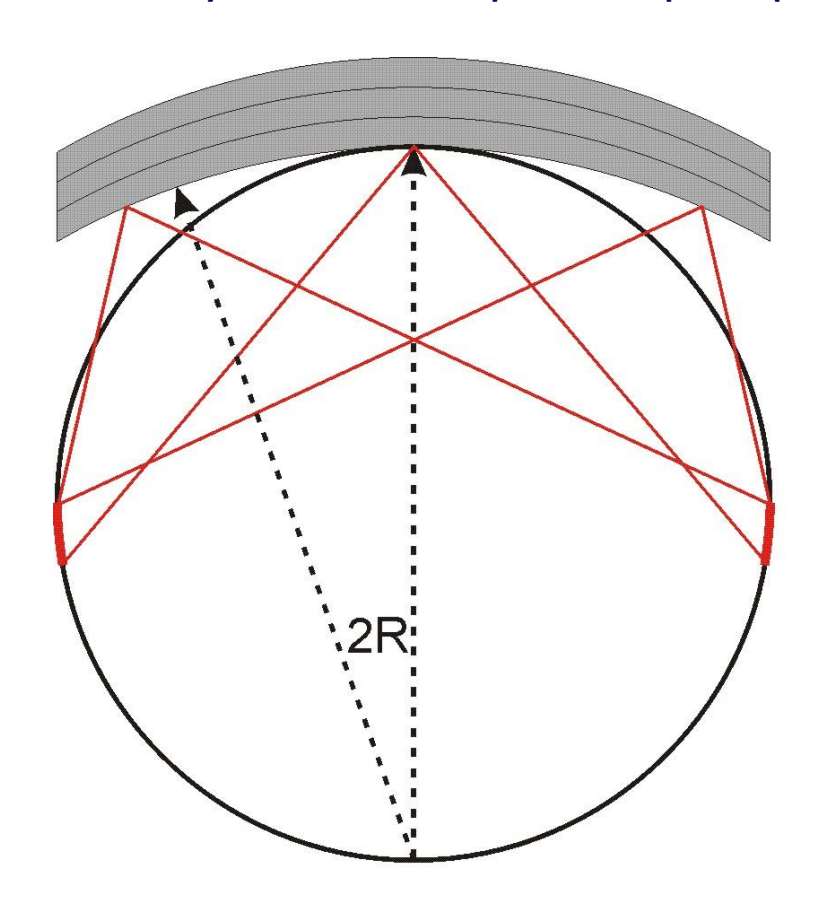
Принцип работы основных пассивных оптических элементов



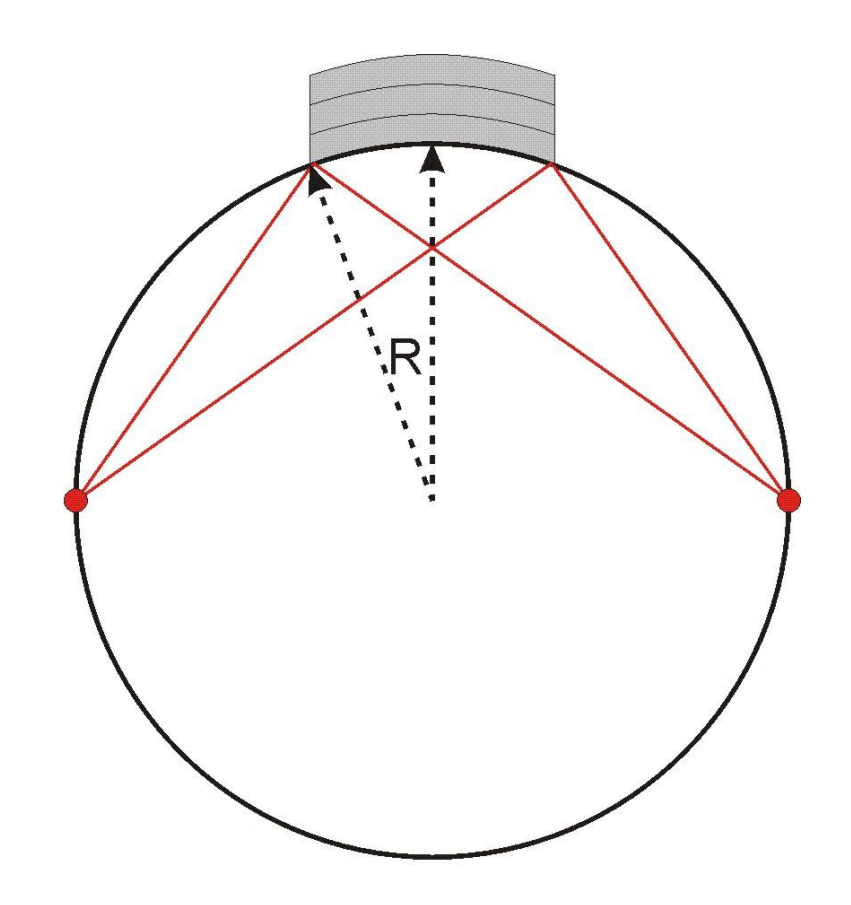


плоский параллельный монохроматор - параллельный пучок плоский астигматичный монохроматор (по Фанкухену) - сужение пучка

Изогнутый монохроматор – формирует сходящийся пучок

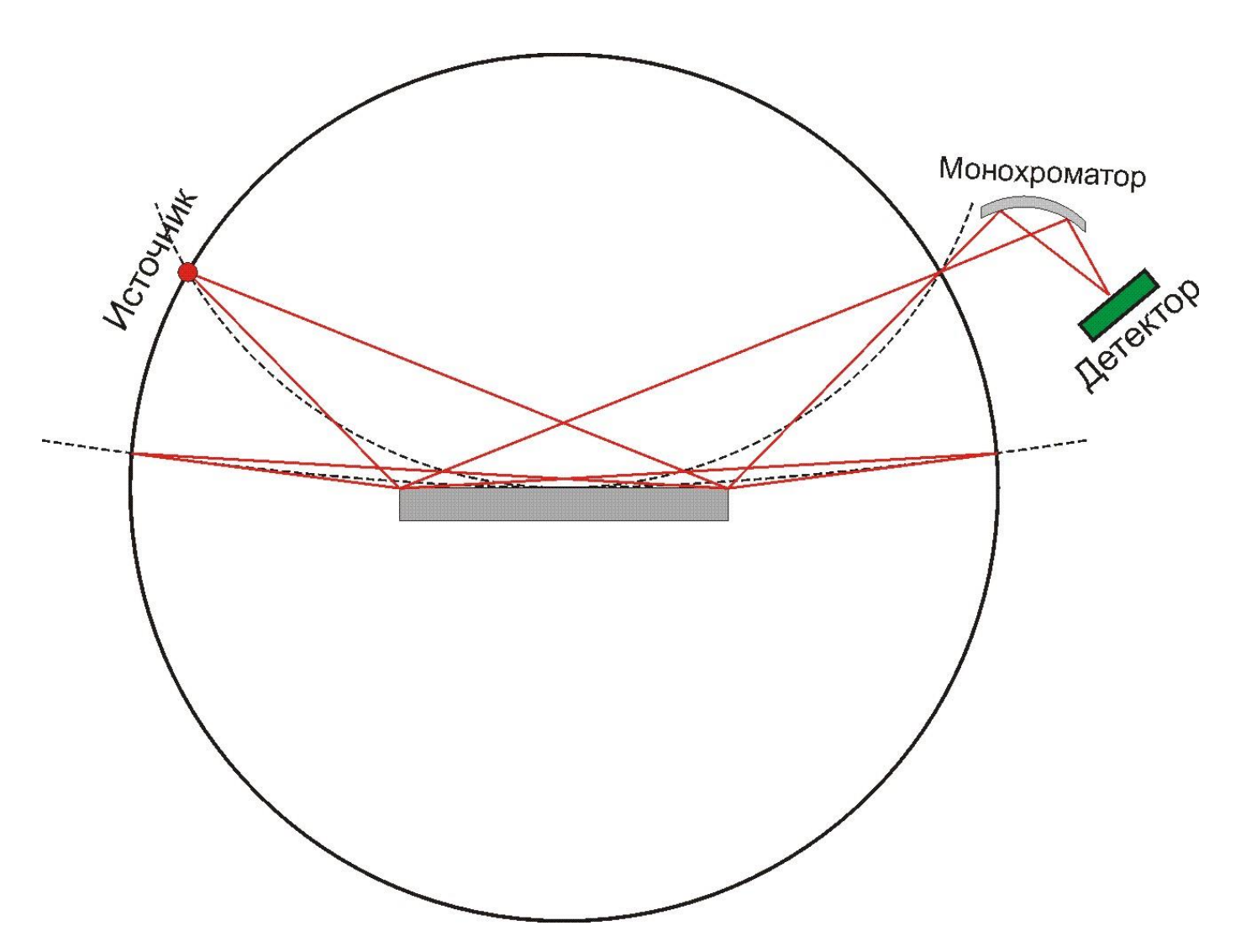


по Иоганну: фокусировка в линию Излучение: $K\alpha_{\mbox{\tiny cpegh}}$



по Иогансону: фокусировка в точку Излучение: *Κ*α₁

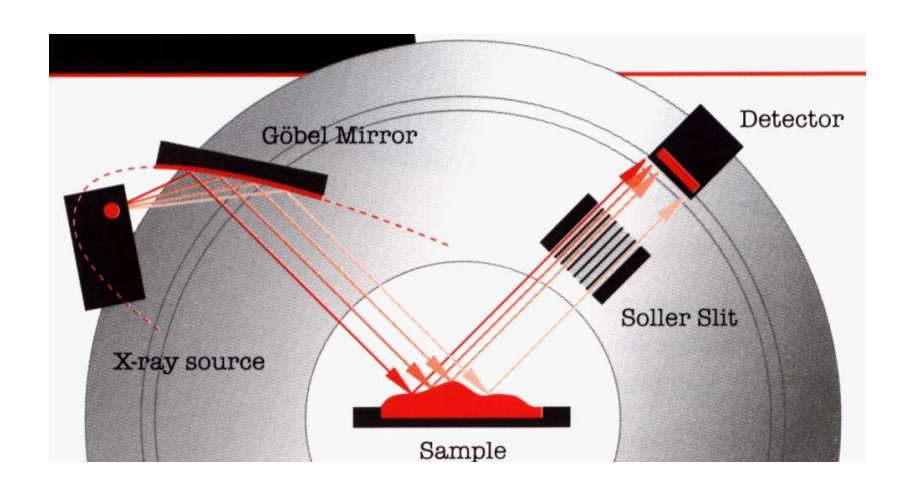
Принцип действия вторичного монохроматора

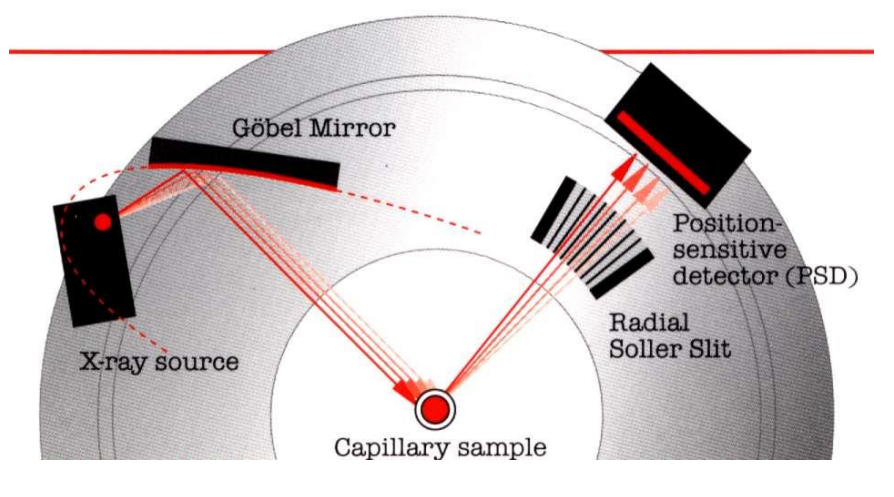


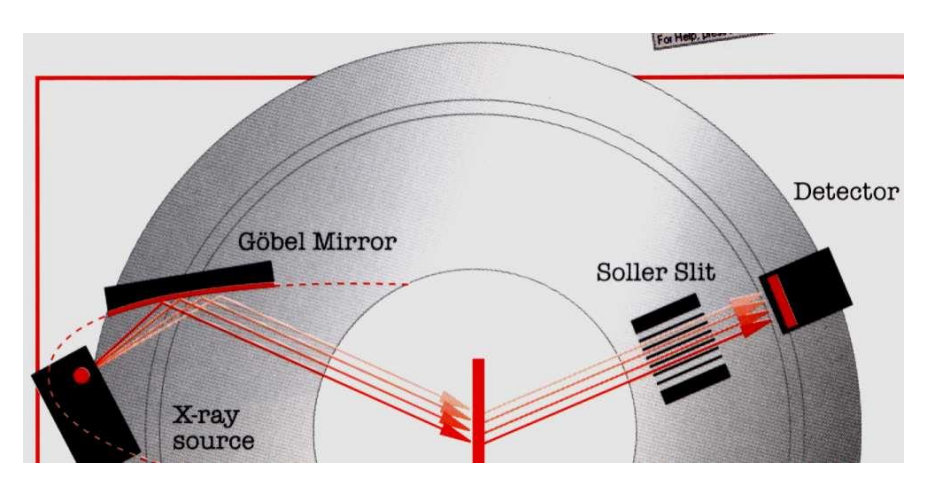
Оптика параллельного пучка (многослойные зеркала)











1. Геометрия Брегга-Брентано

Образец в центре главной фокусирующей окружности

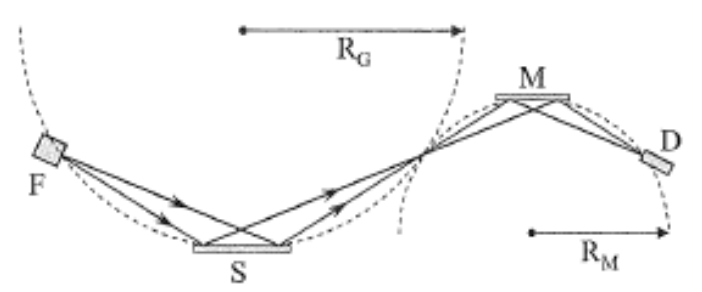


Наиболее употребимые в дифрактометрии геометрии!



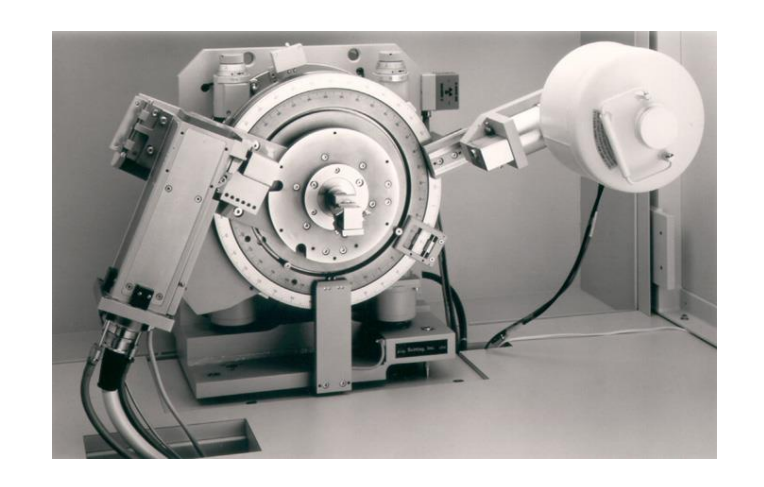
Scintag Pad V

Горизонтальные гониометры ω - 2 Θ (вторичный монохроматор)



Вертикальные *⊕*-2*⊕* гониометры (вторичный монохроматор, первые энергодисперсионные детекторы):

упрощена пробоподготовка, облегчена установка дополнительного оборудования



Scintag Pad X

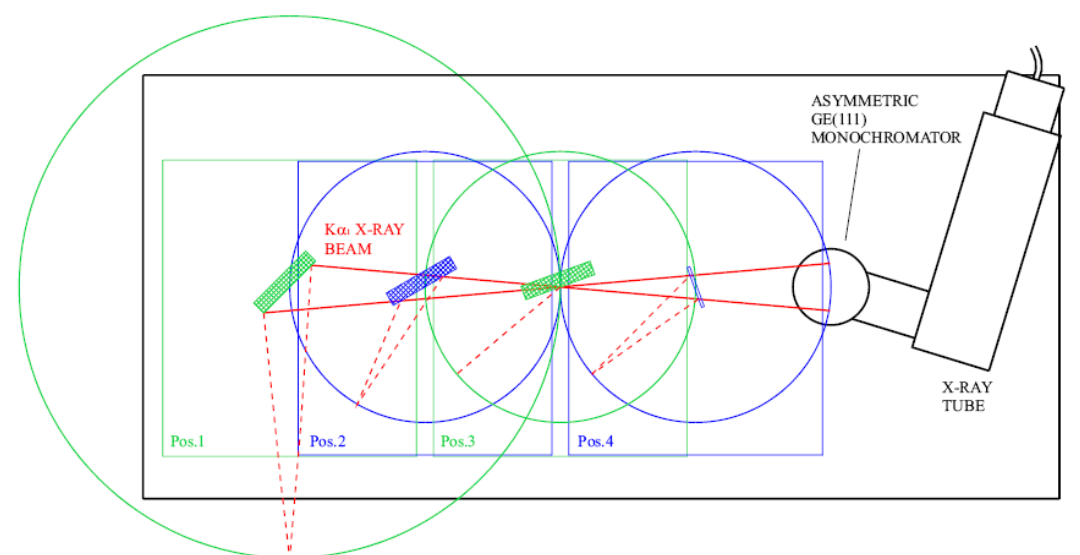


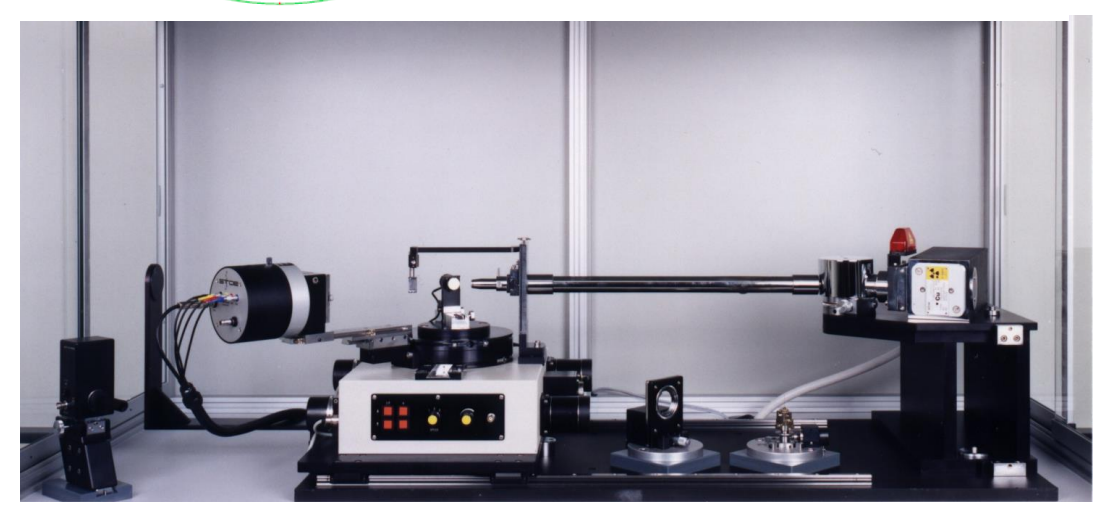
Вертикальная θ-θ геометрия

- Одинаково легко
 выполнять анализ
 порошков и
 массивных образцов
- Упрощена пробоподготовка
- Лучшая геометрия для модернизации / расширения возможностей прибора
- Plug & play
 изменение
 конфигурации
 прибора

Дифрактометры с изменяемой геометрией

- Четыре геометрии в одном приборе
- PSD детектор
- Быстрая перенастройка
- Kα1 во всех конфигурациях
- Прецизионное исследование текстуры
- Высоко-/ низкотемпературные эксперименты





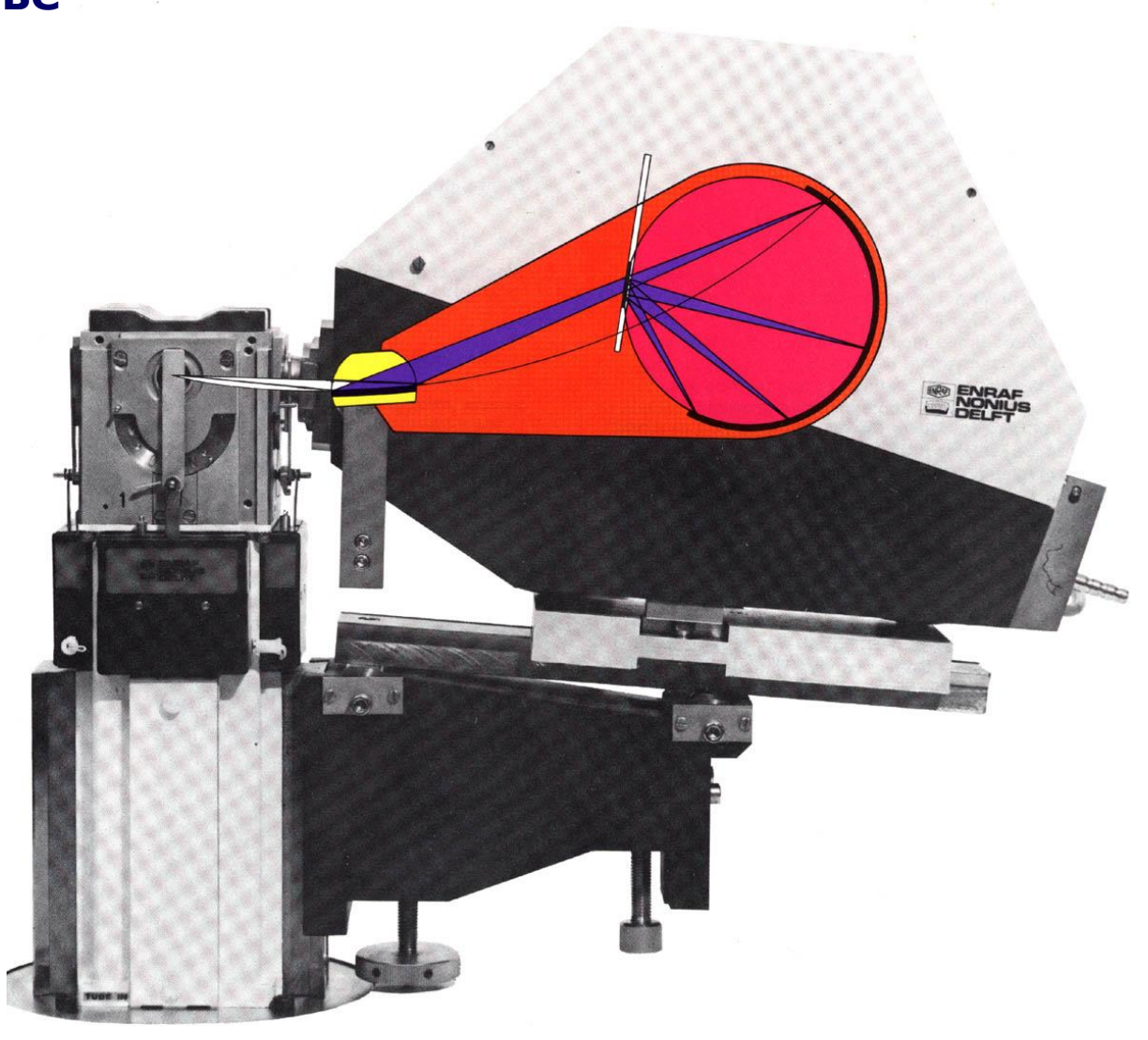
1. Геометрия Зеемана-Болина

Образец на главной фокусирующей окружности



«На просвет» (Гинье)

Камера Гинье



2. Пробоподготовка

1. «На отражение»

- Ровная поверхность (кроме параллельного пучка)
- Размер частиц порошка: $\mu d < 1$
- Для кристаллитов правильной формы разбавитель (?)
- Малошумящая подложка
- При необходимости аморфное связующее (цапон-лак)

2. «На просвет»

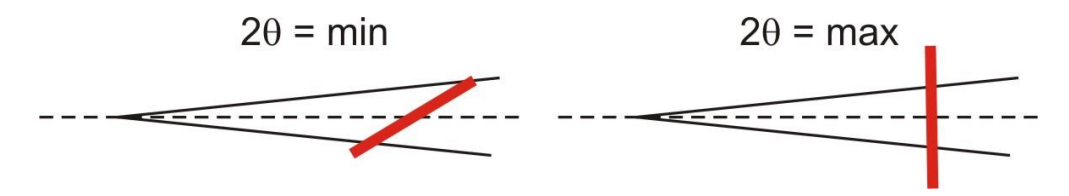
- Ровная поверхность (кроме параллельного пучка)
- Размер частиц порошка: µd < 1
- Аморфная пленка
- Аморфное связующее (цапон-лак)
- Тонкий слой для оптимальной интенсивности сигнала

3. «Дебая-Шеррера»

- Размер частиц порошка: $\mu d < 1$
- Капилляр 0.5 0.1 мм
- Контроль интенсивности сигнала!
- Запаяйте(заклейте) капилляр!

3. Выбор условий съемки

- Оптимальный шаг сканирования ~ 0.1 FWHM
- Расходимость пучка по размеру площади засветки ($S_{\text{beam}} < S_{\text{sample}}$)



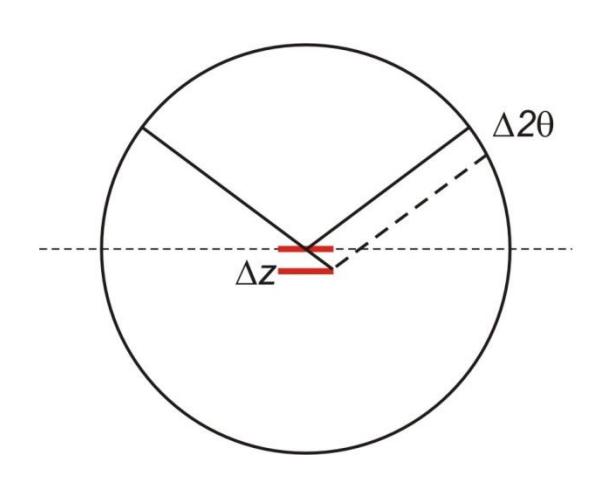
• Скорость сканирования – по СКО сигнала (N -число импульсов, Q -скорость счета, t -время регистрации в точке)

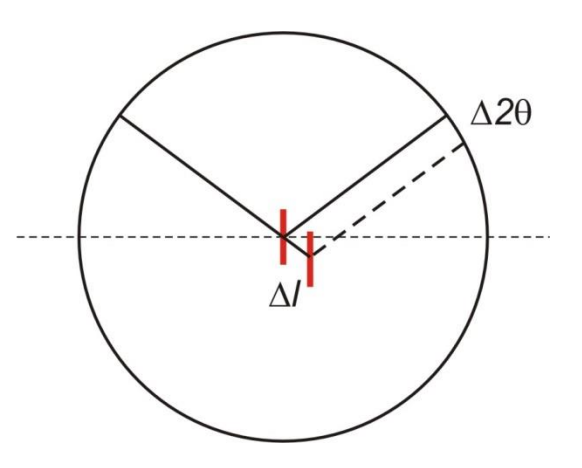
$$\sigma = \sqrt{N} = \sqrt{Qt}; \ \sigma_{omh} = \frac{\sigma}{N} = \frac{1}{\sqrt{N}} = \frac{1}{\sqrt{Qt}}$$

• Режим работы источника – оптимальный для источника, а затем уже для Вас (80% мощности трубки – это максимум для рутинной работы!)

4. Погрешности измерений

Сдвиг образца из центра фокусирующей окружности





$$\Delta 2\theta \propto \cos \theta = \arcsin \left[\frac{2\Delta z \cos \theta}{R} \right]$$

$$\Delta 2\theta \propto \sin \theta$$

Помните, для reflection:

$$\Delta z = l_{eff} = \frac{1}{2\mu}$$

